

І.І.Дияк, А.Ю.Чернуха

ЧИСЕЛЬНЕ ДОСЛІДЖЕННЯ ЗАДАЧІ ТЕОРІЇ ПРУЖНОСТІ  
НА ОСНОВІ КОМБІНАЦІЇ МЕТОДІВ ГРАНИЧНИХ  
ТА СКІНЧЕННИХ ЕЛЕМЕНТІВ.

Побудова та використання комбінованих схем методу скінчених /МСБ/ та граничних /МГЕ/ елементів значно підвищує ефективність застосувення чисельних методів для широкого кола задач математичної фізики /4, 6/. У даній праці розроблена чисельна схема та алгоритм комбінованого підходу для розв'язання двовимірних задач теорії пружності.

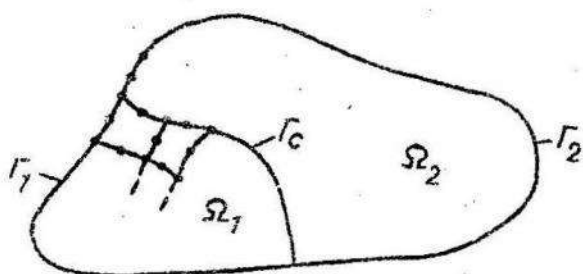


Рис. I.

Розглянемо ізотропне пружне тіло /рис. I/, яке займає двовимірну область  $\Omega$  з межею  $\Gamma$ . Нехай  $\Omega_1$  та  $\Omega_2$  - підобласті  $\Omega$ , такі що  $\Omega_1 \cup \Omega_2 = \Omega$ ;  $\Omega_1 \cap \Omega_2 = \emptyset$ ;  $\Gamma_1 \cup \Gamma_2 = \Gamma$ ;  $\partial\Omega_1 = \Gamma_1 \cup \Gamma_c$  - межа  $\Omega_1$ ;  $\partial\Omega_2 = \Gamma_2 \cup \Gamma_c$  - межа  $\Omega_2$ .

I. Розв'язок задачі теорії пружності для області  $\Omega_1$  будуємо на основі мінімізації функціоналу Лагранжа, зображеного у вигляді

$$\Pi(u) = \frac{1}{2} \int u^T B^T D B u d\Omega - \int u^T t d\Gamma - \int u^T t d\Gamma, \quad /I/$$

де  $u = (u_1, u_2)^T$  - вектор з компонент дозволених переміщень із простору  $H = \{u = (u_1, u_2)^T : u_i = g_i, x \in \partial\Omega'_1, u_i \in W_1(\Omega)\}$ ;

©Дияк І.І., Чернуха А.Ю., 1993

$\partial\Omega_1^1$  - та частина межі  $\Gamma_1$ , на якій задані граничні умови на переміщення, тобто  $u_i = g_i$ ,  $i = 1, 2$ ;  $\partial\Omega_1^2$  - частина  $\Gamma_1$  із заданим поверхневим навантаженням;

$$\sum_{j=1}^2 \partial_{ij} n_j = t_i, \quad i = 1, 2;$$

$t = (t_1, t_2)^T$  - вектор із компонентами поверхневих сил;  $n_j = \cos(\pi, x_j)$  - компоненти одиничної нормалі до поверхні;  $\Gamma_C$  - спільна межа областей  $\Omega_1$  і  $\Omega_2$ .

$$B = \begin{bmatrix} \frac{\partial}{\partial x_1} & 0 \\ 0 & \frac{\partial}{\partial x_2} \\ \frac{\partial}{\partial x_2} & \frac{\partial}{\partial x_1} \end{bmatrix} \quad D = \frac{E}{(1+\nu)(1-\nu)} \begin{bmatrix} 1 & \nu & 0 \\ \nu & 1 & 0 \\ 0 & 0 & \frac{1-\nu}{2} \end{bmatrix}$$

де  $B$  - матриця диференціальних операторів;  $D$  - матриця пружності відповідно;  $E$  - модуль Юнга;  $\nu$  - коефіцієнт Пуассона;  $\nu_1 = \nu$  - для плоского напруженого стану,  $\nu_1 = \nu/(1-\nu)$  - для випадку плоскої деформації.

Виконамо дискретизацію області  $\Omega_1$  на чотирикутні скінчені елементи. Апроксимуємо переміщення на кожному з них:

$$u_j = \sum \psi_i u_{ji}, \quad j = 1, 2. \quad /2/$$

Тут  $u_{ji}$  - значення  $j$ -ї компоненти переміщення в  $i$ -му вузлі елемента;  $\psi_i = \psi_i(\alpha, \beta)$  - координатна функція  $i$ -го вузла. Невідомі поверхневі сили, які входять у третій доданок /1/ апроксимуємо на  $\Gamma_C$  аналогічно /2/:

$$t_j = \sum \psi_i t_{ji}, \quad j = 1, 2. \quad /3/$$

Тут  $t_{ji}$  - значення  $j$ -ї компоненти поверхневої сили в  $i$ -му вузлі. Підставляємо співвідношення /2/ і /3/ у функціонал /1/ і сумуємо по всіх скінчених елементах. З умови мінімуму функціоналу  $\delta J = 0$  одержуємо систему лінійних алгебраїчних рівнянь:

$$KU = R, \quad /4/$$

де  $K$  - чотирикутне /є/ розподілення невідомих поверхневих сил на межі областей  $\Gamma_C$ ; матриця жорсткості системи;  $R$  - вектор навантаження;  $U = (u_{11}, \dots, u_{1N}, t_{11}, \dots, t_{1l})^T$  - вектор шуканих переміщень і поверхневих сил на межі спряження;  $N$  - кількість вузлів області  $\Omega_1$ ;  $l$  - кількість вузлів на межі спряження.

2. Для межі області  $\Omega_2$  записуємо граничне інтегральне рівняння, на якому базуються співвідношення прямого МІЕ [2]:

$$C_{ij}(\xi)u_j(\xi) + \int F_{ij}(x, \xi)u_j(x)d\Gamma(x) = \int G_{ij}(x, \xi)t_j(x)d\Gamma(x), \quad /5/$$

де  $\xi = \xi(x_1, x_2)$  - точка навантаження;  $x = x(x_1, x_2)$  - точка області;  $u_j(x)$  і  $t_j(x)$  - відповідно переміщення і поверхневі сили;  $F_{ij}(x, \xi)$  і  $G_{ij}(x, \xi)$  - фундаментальні розв'язки задачі Кельвіна [2]. Коефіцієнти матриці  $C_{ij}(\xi)$  залежать лише від локальної геометрії межі  $\partial\Omega_2$ . Якщо  $\partial\Omega_2$  є гладкою кривою, то  $C_{ij}(\xi) = \frac{1}{2}\delta_{ij}$ .

Для отримання чисельного розв'язку задачі межу області  $\Omega_2$  розділяємо на  $N_2$  граничних елементів,  $\partial\Omega_2 \setminus \Gamma_n \cup \Gamma_m = \emptyset (m \neq n)$ . На елементі  $\Gamma_n$  компоненти переміщень і поверхневих сил задаються у формі

$$u_i(x) = \sum_{k=0}^{N_i^n-1} \varphi^{kn}(x)u_i^{kn}, \quad t_i(x) = \sum_{k=0}^{N_i^n-1} \varphi^{kn}(x)t_i^{kn}, \quad /6/$$

$x \in \Gamma_n$ .

Підставляючи /6/ у рівняння /5/, одержуємо нев'язку

$$\begin{aligned} z_i(\xi) &= \sum_{e=0}^{N_i^n-1} \sum_{j=1}^2 \left[ C_{ij}(\xi) \varphi^{en}(\xi) + \int_{\Gamma_n} F_{ij}(x, \xi) \varphi^{en}(x) d\Gamma(x) \right] u_j^{en} + \\ &+ \sum_{m=1}^{N_2} \sum_{e=0}^{N_j^m-1} \sum_{j=1}^2 \left[ \int_{\Gamma_m} F_{ij}(x, \xi) \varphi^{em}(x) d\Gamma(x) \right] u_j^{em} - \\ &- \sum_{m=1}^{N_2} \sum_{e=0}^{N_j^m-1} \sum_{j=1}^2 \left[ \int_{\Gamma_m} G_{ij}(x, \xi) \varphi^{em}(x) d\Gamma(x) \right] t_j^{em}, \quad \xi \in \Gamma_n. \end{aligned} \quad /7/$$

Застосовуємо процедуру методу Бубнова-Гельзоркіна:

$$\int_{\Gamma_n} \varphi^{kn}(\xi) z_i(\xi) d\Gamma(\xi) = 0, \quad /8/$$

де  $i = 1, 2$ ;  $k = 0, \dots, (N_i^n - 1)$ ;  $n = 1, \dots, N_2$ .

Підставляючи /7/ у /8/, одержуємо систему лінійних алгебраїчних рівнянь:

$$F_{ij}^{knet} u_j^{em} = G_{ij}^{knet} t_j^{em}.$$

Після врахування заданих граничних умов рівняння можна записати у формі

$$A y = b, \quad /9/$$

де  $A$  - повністю заповнена несиметрична прямокутна матриця;

$\bar{u}$  - вектор невідомих переміщень і поверхневих сил у граничних вузлах;  $\bar{\delta}$  - вектор правої частини.

Об'єднуючи системи /4/ і /9/ і враховуючи умови спряження на  $\Gamma_C$ :

$$u_j^+ = u_j^-, \quad t_j^+ = t_j^-, \quad j=1,2, \quad /10/$$

одержуємо загальну систему лінійних алгебраїчних рівнянь:

$$A^*x = \delta^*. \quad /11/$$

3. Використання для невідомих функцій на межі спряження однакової апроксимації в МСЕ та ПМЕ забезпечує їх неперервність під час переходу через межу  $\Gamma_C$ .

Відзначимо, що при здійсненні нумерації вузлів, коли вузли на межі спряження  $\Gamma_C$  є останніми для CE області і першими в МЕ на межі  $\partial\Omega_2$ , матриця системи /11/ має таку структуру, зображену на рис. 2, де  $A_1$  - симетричний блок стрічкової структури;  $A_2$  - несиметричний блок.

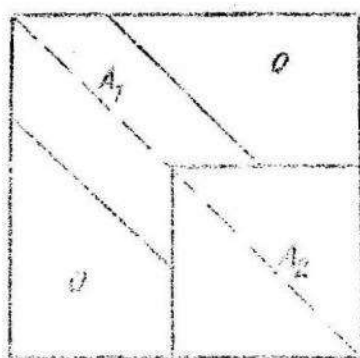


Рис. 2.

Час "інтервалів" /11/, визначаємо функції переміщень у вузлах окремо-елементної області  $\Omega_1$ , та функції переміщень і поверхневі сили у вузлах на межі області  $\Omega_2$ . На основі відомих співвідношень /3/ обираємо переміщення і наявні дії у будь-якій внутрішній частині області  $\Omega_2$ . Значення деформацій і напружень у вузлах окремо-елементної сітки в області  $\Omega_1$  знаходимо за методом співвідношень Комі і закону Гука /3/.

Описаний вище алгоритм реалізований у вигляді комплексу програм на мовах Фортран-77 і Сі для ПЕОМ типу *IBM PC/AT*. У підпрограмі розв'язання системи лінійних алгебраїчних рівнянь враховується специфіка матриці системи /II/, що дає змогу ефективно використовувати оперативну пам'ять. Для систем великих розмірів використовується зовнішня пам'ять.

4. Для тестування запропонованого комбінованого підходу розглянута задача про плоску деформацію жорстко защемленого на краю ческінченного бруса, під дією на одній з поверхонь рівномірно розподіленого навантаження /рис.3/.

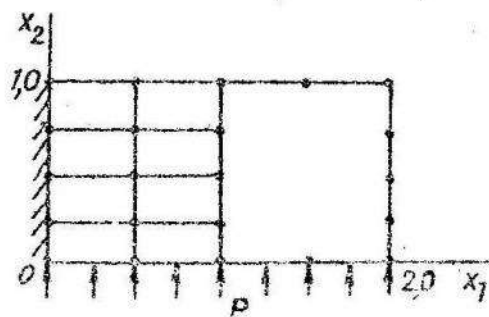


Рис. 3.

Метод Розенбрюка		A(0.3, 1.0)		B(1.0, 1.0)		C(2.0, 0.0)	
обидва	один	$u_x$	$u_y$	$u_x$	$u_y$	$u_x$	$u_y$
MSE	3х6	146	-1539-3	1501-3	-3054-3	5740-3	3762-3
MSE	3х8	92	-1515-3	1489-3	-3064-3	5678-3	3719-3
Комп-3х8		46	-1341-3	1393-3	-2623-3	5276-3	3553-3
вонана 3х6		132	-1493-3	1484-3	-3006-3	5653-3	3730-3
схема 3х3		114	-1527-3	1483-3	-3104-3	5709-3	3537-3

У таблиці наведені значення переміщень у точках з координатами  $A = /0, 33, 1.0/, B = /1.0, 1.0/, C = /2.0, 0.0/$ . Перших два рядки значення, одержані з використанням відповідно MSE та MTE для дискретизації всієї області. Останніх три значення, одержані на основі розробленого підходу із застосуванням лінійної /третій і четвертий

рядки/ та квадратичної апроксимації. Вказані також розвиття та сумарна кількість ступенів свободи (*d.o.f. - degrees of freedom*).

1. Бендерджи Ц., Багтерфілд Р. Метод граничних елементов в прикладных науках. М., 1984. 2. Бреббия К., Уокер С. Применение метода граничных элементов в технике. М., 1987. 3. Дяк И.И. Решение двумерных задач квазистатической термоупругости на основе применения высокоточных схем МКЕ: Автореф. дис. ... канд. физ.-мат. наук. Львов, 1984. 4. Beer G. Implementation of combined boundary element finite element analysis with applications in geomechanics // Devel. boundary Elem. Math. 1986. Vol. 4. P. 191-225. 5. Paraglini P., Giuggiani M. On the implementation of the Galerkin approach in the boundary element method // Comput. and Struct. 1989. Vol. 33. N1. P. 269-279. 6. Wearing J.L., Sheikholeslami A. A Combined Finite Element Boundary Element Technique for Stress Analysis // Devel. Boundary Elem. Math. 1988. Vol. 1. P. 493-507

Стаття надійшла до редколегії 09.04.93

УДК 517.958:519.6

Н.П.Головач, І.І.Дяк

ЧИСЕЛЬНЕ ДОСЛІДЖЕННЯ ЗАДАЧІ ТЕПЛОПРОВІДНОСТІ ПРЯМУМ  
МЕТОДОМ ГРАНИЧНИХ ЕЛЕМЕНТІВ

Розглянемо двовимірну задачу нестационарної тепlopровідності, яка описується рівнянням

$$\frac{\partial^2 u(x,t)}{\partial x_i \partial x_i} - \frac{1}{k} \frac{\partial u(x,t)}{\partial t} = 0, (x,t) \in \Omega \times (0,T) \quad /1/$$

з граничними умовами на температуру

$$u(x,t) \Big|_{\Gamma_1} = \bar{u}(t) \quad /2/$$

і тепловий потік

$$\frac{\partial u(x,t)}{\partial n(x)} \Big|_{\Gamma_2} = q(x,t) \Big|_{\Gamma_2} = q(t), \quad \Gamma = \Gamma_1 \cup \Gamma_2 = \partial \Omega \quad /3/$$

та початковою умовою

$$u(x,0) = u_0(x), \quad x \in \Omega. \quad /4/$$

Для розв'язання початково-крайової задачі /1/-/4/ застосовуємо прямий метод граничних елементів /ПМГЕ/. У цьому випадку розв'язання задачі /1/-/4/ зводиться до інтегрального рівняння

(Головач Н.П., Дяк І.І., 1993)